

京都大学防災研究所

佐藤忠信

京都大学防災研究所

土岐忠三

佐藤工業

日野 徹

1. まえがき

地震時における構造物や地盤の応答を解析する際には、系の挙動を支配する常微分方程式を解かねばならず、一般に、任意の非定常入力に対する応答解析では、時間領域における直接数値積分法が用いられる。数値積分法は、従来から多くの方法が考えられ、改善が進められてきたが、その誤差評価法に関しては明確な規範が存在しない。そこで新しい誤差評価法を提案し、既往の数値積分法の誤差評価を行う。さらに新しく数値積分法を開発し、その有効性について検討を加える。

2. z変換を用いた数値積分法の誤差評価

一般の振動系に現れれる運動方程式を状態方程式の形に表現すれば次式となる。

$$\dot{x} = Ax + f, \quad x = \begin{Bmatrix} y \\ \dot{y} \end{Bmatrix}, \quad A = \begin{bmatrix} 0 & I \\ -M^{-1}K & -M^{-1}C \end{bmatrix}, \quad f = \begin{Bmatrix} 0 \\ g \end{Bmatrix} \quad (1)$$

ここで、 y, g, M, C, K はそれぞれ、変位ベクトル、外力ベクトル、質量マトリックス、粘性係数マトリックス、剛性マトリックスであり、 $(\cdot) = d(\cdot)/dt$ を表わしている。式(1)を時間領域に関して離散化するに当たり、数値積分のための漸化式を誘導する。時刻 $n\tau$ と時刻 $(n+1)\tau$ の間で外力は線形に変化するとするれば、式(1)は積分でき次式のようになる。

$$x_{n+1} = e^{A\tau} x_n + (e^{A\tau} - I)A^{-1}f_{n+1} + [e^{A\tau} \tau - (e^{A\tau} - I)A^{-1}]A^{-1}(f_n - f_{n+1})/\tau \quad (2)$$

ここで、 I は単位マトリックス、変数に付けた添字 $n, n+1$ は各々時刻 $n\tau, (n+1)\tau$ における変量を意味する。

式(2)の形式は、適当な変換行列を用いることでより、一般性を失うことなくスカラー変量に対しても成立させることができる。この場合 $e^{A\tau}$ は A の固有値 μ を用いて $e^{\mu\tau}$ なるスカラー量へ変換される。さらに、スカラー量で表現された式(2)を z 変換するににより次式となる。

$$(z - e^{\mu\tau})X(z) = [z(e^{\mu\tau} - 1)/\mu + (1 - z)\{e^{\mu\tau}\tau - (e^{\mu\tau} - 1)/\mu\} / \mu\tau] F(z) \quad (3)$$

ここで、 $X(z)$ と $F(z)$ は各々時系列 x_n と f_n に関する z 変換形である。式(3)の左辺の係数をゼロとする z の値 $e^{\mu\tau}$ は式(1)で与えられる微分方程式を差分方程式に変換する写像関数になっている。既往の数値積分法は式(1)に現れれる $e^{A\tau}$ を関数 $E(A\tau)$ で近似するににより、常微分方程式を差分方程式に変換したものと見ることが出来る。これは、固有値空間で見れば、 $e^{\mu\tau} \in E(\mu\tau)$ で近似するに等価である。 $z = e^{\mu\tau}$ は厳密解であるから、 $z \in E(\mu\tau)$ とおいた場合は、 $\mu\tau$ が平面 z 平面への写像が厳密解の x が与えられるゆえに評価可能な、数値積分法の精度を調べるに出来る。 x を次式のように誤差を定義する。

$$\begin{aligned} \text{ゲイン誤差 (\%)} &= | |E(\mu\tau)| - \exp(\sigma\tau) | / \exp(\sigma\tau) \times 100 \\ \text{位相誤差 (\%)} &= | \angle E(\mu\tau) - \omega\tau | / \omega\tau \times 100 \end{aligned} \quad (4)$$

ここで、 $|E|$ と $\angle E$ は E の絶対値と偏角を表わしている。式(4)に現れれる σ, ω はマトリックス A の固有値の実数部と虚数部に対応し $\mu = \sigma + i\omega$ と表わされる。つまり ω_0, ρ_0 を系の固有円振動数、減衰定数とすれば $\sigma = -\omega_0\rho_0, \omega = \omega_0\sqrt{1-\rho_0^2}$ となる。

$\mu\tau$ 平面を適当な大きさの網目に分割し、その格子点と上におけるゲイン誤差、位相誤差を式(4)に従って計

算し、誤差の等高線を描いた一例が図-1である。これは、よく使用されている Newmark β法で $\beta=1/6$ とした場合のものである。図が示すように、ゲイン誤差と位相誤差はかたがたり異なった分布を示すことがわかる。こうした観点から、両者の誤差がある一定の値以内

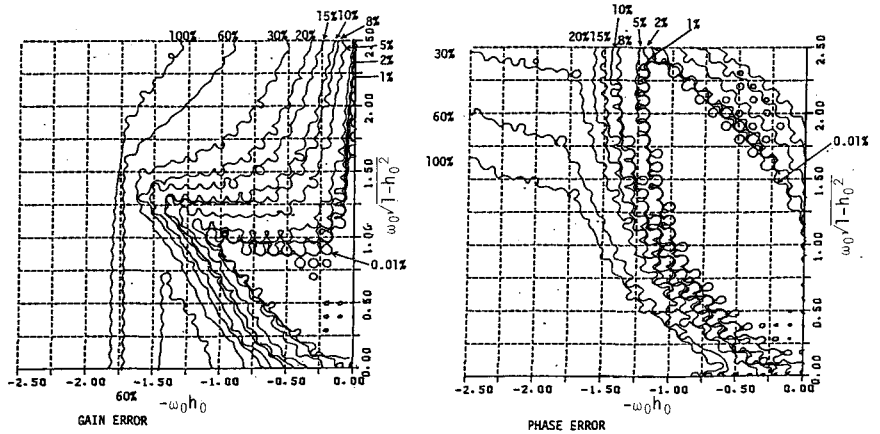


図-1 Newmarkのβ法におけるゲイン誤差と位相誤差 (β=1/6)

なる領域をもち、既往の数値積分法の誤差評価を行う、たのが図-2である。ゲインと位相の位相誤差が同時に1%以下に属する領域が示されている。図中にはここに提案する数値積分法の誤差領域も同時に示してある。Newmarkのβ法は比較的広い範囲で高い精度を得ることがわかる。Houbolt法、Wilson θ法は他の手法に比べ精度はかたがたり劣っている。Runge-Kuta法の精度はかたがたり高いが各次数に応じてマトリックスAのベキ乗計算が必要のため、実用的ではない。既往の数値積分法ではPC-12法の精度が最も高い。

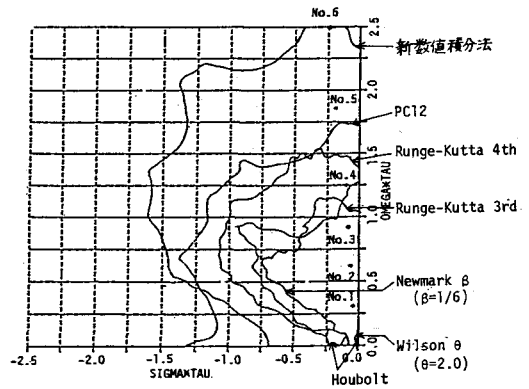


図-2 既往の数値積分法の誤差評価

3. 新数値積分法の提案

一般化した Padé 近似の概念を複素数領域に拡大解釈し、 e^{At} を近似する。提案する近似式は次式で与えられる。

$$e^{At} = \frac{I + (\frac{1}{2} - \frac{\alpha_1}{6} + \frac{1}{2}\alpha_2)At + \frac{1}{12}(1 - \alpha_1 - \alpha_2)A^2t^2}{I - (\frac{1}{2} + \frac{\alpha_1}{6} + \frac{1}{2}\alpha_2)At + \frac{1}{12}(1 + \alpha_1 + 5\alpha_2)A^2t^2} \quad (5)$$

$$\alpha_1 = 0.14247 - 0.26335i$$

$$\alpha_2 = -0.018134 - 0.011434i$$

この近似式を用いた差分式は次式のようになる。

$$Y_{n+1} = U_{n+1} + \frac{\tau}{2} \dot{Y}_{n+1}$$

$$\dot{Y}_{n+1} = (M \frac{\beta_1}{\tau} + C + \frac{\tau}{2} K)^{-1} (M \frac{\beta_2}{\tau} \dot{U}_{n-1} - K U_{n+1} + M g_n), \quad \ddot{Y}_{n+1} = \frac{\beta_2}{\tau} (\dot{Y}_{n+1} - \dot{U}_{n+1})$$

$$U_{n+1} = (M \frac{\beta_1}{\tau} + C + \frac{\tau}{2} K)^{-1} \{ (\frac{\tau}{\beta_1} M + C + \frac{\tau}{\beta_1} K) U_n + M (1 - \frac{\beta_1}{\beta_2}) \dot{U}_n + M (-\frac{\tau}{\beta_2} + \frac{\tau}{2}) \ddot{g}_{n+1} + M (\frac{\tau}{\beta_2} + \frac{\tau}{2}) \ddot{g}_n \}$$

$$\dot{U}_{n+1} = (M \frac{\beta_1}{\tau} + C + \frac{\tau}{2} K)^{-1} \{ (\frac{\beta_1}{\beta_2} - 1) K U_n + (\frac{\beta_1}{\tau} M + \frac{\beta_1}{\beta_2} C + \frac{\tau}{\beta_1} K) \dot{U}_n + M (-\frac{\tau}{\beta_2} + \frac{\beta_1}{2}) \ddot{g}_{n+1} + M (\frac{\beta_1}{\beta_2} + \frac{\beta_1}{2}) \ddot{g}_n \}$$

$$U_n = g_n - \frac{\tau}{\beta_2} \ddot{g}_n, \quad \dot{U}_n = \dot{g}_n - \frac{\tau}{\beta_2} \ddot{g}_n, \quad \beta_1, \beta_2 \text{ は式(5)の分子, } \beta_1, \beta_2 \text{ は分母の特性根である。}$$

上式で、 $Y_{n+1}, \dot{Y}_{n+1}, \ddot{Y}_{n+1}$ は複素数で与えられるが、その実数部をとりおす。図-3は1自由度系を対象とした数値計算例である。系の非減衰固有振動数を0.2秒、減衰定数を10%とした場合である。振幅1galの正弦波を入力した場合の応答加速度が示されている。これは6/10曲線は Duhamel 積分により求めたものであり、折線状のものが提案する手法によるものである。粗い積分時間間隔にもかかわらず応答の振幅特性の良しとがわかる。

参考文献 1) 清水信行・渡辺嘉二郎・塩田時可・鎌田和枝・山本鎮男；日本機械学会論文集(力学部), 43巻 368号, pp.1272-1289, 1977.